

УДК 532.546

© 1994 г. П. Г. БЕДРИКОВЕЦКИЙ, Д. Г. ПОЛОНСКИЙ, А. А. ШАПИРО

КОНВЕКТИВНАЯ УСТОЙЧИВОСТЬ РАВНОВЕСИЯ БИНАРНОЙ СМЕСИ В ТРЕЩИНОВАТО-ПОРИСТОЙ СРЕДЕ

Проводится анализ воздействия поля силы тяжести, концентрационного и термического градиентов на конвективную устойчивость смеси в неоднородной пористой среде, содержащей систему тонких высокопроницаемых трещин, разделяющих низкопроницаемые блоки.

Представленный анализ конвективной устойчивости важен для определения состояния многокомпонентных углеводородных смесей в месторождениях большой толщины, приуроченных к трещиновато-пористым коллекторам [1, 2].

Ранее исследовалась устойчивость механического равновесия бинарной смеси в однородной пористой среде [3—5]. Обобщение этих исследований с учетом перекрестных кинетических эффектов дано в [6].

Анализ устойчивости равновесия смеси в трещиновато-пористой среде, проведенный в данной работе, основан на модели осредненного описания конвективно-диффузионного переноса с учетом массообмена между трещинами и блоками [7, 8]. Получены критерии монотонной и колебательной неустойчивости. Показано, что монотонная неустойчивость может наблюдаться в более широком диапазоне определяющих параметров, чем колебательная. Проанализировано влияние термодиффузии в трещинах на устойчивость равновесия относительно монотонных возмущений. Показано, что этот фактор является определяющим в реальных пластовых условиях.

1. Уравнения фильтрации в трещиновато-пористой среде. Для описания конвективно-диффузионного течения бинарной смеси в трещиновато-пористой среде принимается геометрическая модель изолированных блоков, разделенных трещинами (модель Уоррена — Рута) [1]. В рамках этой модели процесс неизотермической фильтрации смеси в приближении Буссинеска [9] описывается следующей системой уравнений:

$$\operatorname{div} \mathbf{u} = 0 \quad (1.1)$$

$$\frac{\partial}{\partial t} (\alpha_1 m_1 c_1 + \alpha_2 m_2 c_2) + \mathbf{u} \nabla [F c_1 + (1 - F) c_2] = \operatorname{div} [D_1 (\nabla c_1 + \alpha_T \nabla T)] \quad (1.2)$$

$$\begin{aligned} \frac{\partial}{\partial t} (\alpha_2 m_2 c_2) + (1 - F) \mathbf{u} \nabla c_2 = & \left(\frac{D_0}{l_D} + \frac{|(1 - F) \mathbf{u}|}{l_u} + \right. \\ & \left. + \frac{K_1 F_2}{\eta(c_1)} \left(\frac{\partial p}{\partial z} + |c_1 - c_2| \rho_0 \beta g \right) \right) (c_1 - c_2) \end{aligned} \quad (1.3)$$

$$-\nabla p - \frac{\eta(c_1) \mathbf{u}}{K_1 (F_1 + F_2)} + \rho_0 g \{ \beta [F c_1 + (1 - F) c_2] + \alpha T \} \mathbf{k} = 0 \quad (1.4)$$

$$C_m \frac{\partial T}{\partial t} + C_p \rho_0 \mathbf{u} \left(\nabla T + \frac{g}{C_p} \right) = \operatorname{div} [N D_1 \rho_0 (\nabla c_1 + \alpha_T \nabla T) + \lambda \nabla T] \quad (1.5)$$

В системе (1.1)—(1.5) индекс $i = 1$ относится к трещинам, индекс $i = 2$ — к блокам.

Уравнение (1.1) представляет собой уравнение неразрывности для суммарного потока через блоки и трещины, $u = (u_x, u_y, u_z)$ — вектор суммарной скорости фильтрации в трещинах и блоках.

Уравнение (1.2) описывает суммарный перенос легкого компонента в системе трещин и блоков с учетом термодиффузии в трещинах [6—9]. Здесь α_i — объемные доли систем трещин и блоков, m_1 и m_2 — осредненные трещинная пустотность и пористость соответственно, c_i — объемные концентрации легкого компонента в примеси; $F = F_1(F_1 + F_2)^{-1}$ — функция распределения потоков, равная доле фильтрационного потока через трещины в суммарном потоке, где $F_i = F_i [K_2 \eta(c_i)/K_1 \eta(c_2)]$ — тензор фазовых проницаемостей, K_i — проницаемости трещин и блоков, η — динамическая вязкость, D_1 — коэффициент конвективной диффузии в трещинах [10], T — температура; $\kappa_T = k_T/T$, где k_T — термодиффузионное отношение.

Уравнение (1.3) описывает перенос легкого компонента в блоках с учетом диффузионного, конвективного и гравитационного механизмов обмена между блоками и трещинами [7—8]. В нем D_0 — среднее значение коэффициента диффузии ($D_0 < D_1$), l_D , l_u — диффузионная и конвективная длины блоков, β — константа концентрационного расширения, p — давление, z — вертикальная координата, отсчитываемая от подошвы пласта, ρ_0 — среднее равновесное значение плотности, g — величина ускорения свободного падения.

Уравнение движения (1.4) есть обобщенный закон Дарси для суммарного потока, в котором α — константа термического расширения, k — единичный вектор, направленный вертикально вверх.

В уравнении притока тепла для системы трещин и блоков (1.5) учтены работа сил тяжести и диффузионная теплопроводность [6]. В нем C_m — теплоемкость насыщенной трещиновато-пористой среды, C_p — изобарная теплоемкость жидкости; $N = \kappa_T T (\partial \mu / \partial c_i)_{p,T}$, где μ — эффективный химический потенциал; λ — коэффициент теплопроводности системы жидкость — среда.

При выводе системы (1.1)—(1.5) [6—8] предполагалось, что бинарная смесь в блоках и трещинах движется под действием общего градиента давления, а также что интенсивность теплообмена между блоками и трещинами пренебрежимо мала по сравнению с массообменом. Основанием для такого предположения служат оценки характерных времен распространения в блоке диффузионной (l_D^2/D), упругой (l^2/κ) и тепловой (l^2/χ) волн: $l_D^2/D \gg l^2/\chi \gg l^2/\kappa$. Здесь l — характерный порядок длины блока, κ и χ — коэффициенты пьезо- и температуропроводности соответственно.

Пусть параметры p , T , c_1 , c_2 мало отклоняются от определенных постоянных значений p° , T° , c_1° , c_2° , отвечающих постоянной величине плотности ρ_0 . Последующая линеаризация системы уравнений (1.1)—(1.5) проводится в предположении о постоянстве коэффициентов α_i , m_i , K_i ($i = 1, 2$), D_1 , D_0 , N , C_m , C_p , λ , отвечающих значениям p° , T° , c_1° , c_2° . Таким образом, в соответствии с требованиями приближения Буссинеска температурная и концентрационная сжимаемости учитываются только в уравнении движения (1.4) [9]. Это означает, что линейный анализ устойчивости позволяет учесть только механизм диффузионного обмена между блоками и трещинами в уравнении (1.3).

2. Линеаризация в окрестности равновесия. Исследование условий механического равновесия для системы (1.1)—(1.5) проводится обычным образом [9]. Устанавливается существование решений с постоянными вертикальными градиентами температуры и концентрации: $T = T_e = T^\circ - Az$, $c_1 = c_2 = c_e = c^\circ - Bz$. При этом равновесное распределение давления задается квадратичной зависимостью

$$p = p_e = -0,5\rho_0 g \{\beta B + \alpha A\} z^2 + p_{1z} + p_2$$

Константы A , B , p_1 , p_2 определяются граничными условиями. Описанное равновесное состояние реализуется в горизонтальном слое трещиновато-пористой среды, ограниченном плоскостями $z = 0$ и $z = L$, если на этих плоскостях заданы постоянные значения температуры и концентрации. В этом случае $A = \Delta T/L$, $B = \Delta c_1/L = \Delta c_2/L$, где ΔT , Δc_i — перепады температуры и концентраций между граничными плоскостями. При этом функции F_i , $F(i = 1, 2)$ будут зависеть лишь от отношения проницаемостей блоков и трещин K_2/K_1 , поскольку $\eta(c_{1s})/\eta(c_{2s}) = 1$.

Исследуем устойчивость равновесного состояния. Представим динамические переменные в виде

$$p = p_s + p', \quad u = u', \quad T = T_s + T' \quad (2.1)$$

$$c_1 = c_s + c_1', \quad c_2 = c_s + c_2'$$

Величины p' , u' , T' , c_i' считаем малыми по сравнению с равновесными. Вычитание из (1.2) уравнения (1.3), подстановка соотношений (2.1) в полученную таким образом систему и пренебрежение квадратичными по возмущениям членами приводят к следующим уравнениям:

$$\operatorname{div} u' = 0$$

$$\alpha_1 m_1 \frac{\partial}{\partial t} c_1' - FB(u' \cdot k) = D_1 (\Delta c_1' + \kappa_T \Delta T') + \frac{D_0}{l_D} (c_2' - c_1')$$

$$\alpha_2 m_2 \frac{\partial}{\partial t} c_2' - (1 - F) B(u' \cdot k) = \frac{D_0}{l_D} (c_1' - c_2') \quad (2.2)$$

$$-\nabla p' - \frac{\eta u'}{K_1(F_1 + F_2)} + \rho_0 g \{ \beta [Fc_1' + (1 - F)c_2'] + \alpha T' \} k = 0$$

$$C_m \frac{\partial T'}{\partial t} - \left(A + \frac{g}{C_p} \right) C_p \rho_0 (u' \cdot k) = ND_1 \rho_0 (\Delta c_1' + \kappa_T \Delta T') + \lambda \Delta T'$$

Здесь динамическая вязкость η постоянна, функции «фазовых» проницаемостей F_i и распределения потоков F зависят лишь от отношения проницаемостей K_2/K_1 вследствие линеаризации.

Перейдем в системе (2.2) к безразмерным переменным. Удобно ввести следующие единицы: расстояния — мощность пласта L , времени — $K_1(F_1 + F_2) \rho_0 / \eta$, давления — $\eta \lambda / \rho_0 C_p K_1(F_1 + F_2)$, скорости — $\lambda / \rho_0 C_p L$, концентрации в трещинах — $BL \lambda / \rho_0 C_p D_1$, концентрации в блоках — $BL \lambda / \rho_0 C_p D_0$, температуры — AL .

Переходя при помощи указанных единиц к безразмерным переменным и опуская штрихи в обозначениях, получим уравнения

$$\operatorname{div} u = 0 \quad (2.3)$$

$$P_d \frac{\partial}{\partial t} c_1 - u_z = \Delta c_1 + Td \Delta T + \frac{b}{F} (c_2 - ac_1) \quad (2.4)$$

$$P_D \frac{\partial}{\partial t} c_2 - u_z = - \frac{b}{1 - F} (c_2 - ac_1) \quad (2.5)$$

$$-\nabla p - u + (R_d c_1 + R_D c_2 + RT) k = 0 \quad (2.6)$$

$$P \frac{\partial T}{\partial t} - (1 + G) u_z = (1 + Dt) \Delta T + \frac{Dt}{Td} \Delta c_1 \quad (2.7)$$

Определяющие безразмерные параметры в системе (2.3)—(2.7) имеют следующий вид:

$$P_d = \frac{\alpha_1 m_1 \eta L^2}{K_1 F_1 D_1 \rho_0}, \quad P_D = \frac{\alpha_2 m_2 \eta L^2}{K_1 F_2 D_0 \rho_0}$$

$$R_d = \frac{\rho_0 g \beta B L^2 K_1 F_1}{\eta D_1}, \quad R_D = \frac{\rho_0 g \beta B L^2 K_1 F_2}{\eta D_0}$$

$$R = \frac{\rho_0^2 g \alpha A L^2 K_1 (F_1 + F_2) C_p}{\eta \lambda}, \quad P = \frac{C_m L^2 \eta}{\lambda \rho_0 K_1 (F_1 + F_2)}$$

$$Td = \frac{A D_1 C_p \kappa_T \rho_0}{B \lambda F}, \quad Dt = \frac{N D_1 \kappa_T \rho_0}{\lambda}$$

$$G = \frac{g}{A C_p}, \quad a = \frac{D_0}{D_1}, \quad b = \left(\frac{L}{l_D}\right)^2$$

Фильтрационное и фильтрационно-диффузионные числа Рэлея R , R_d и R_D определяют соотношения между составляющими выталкивающей силы, связанной с наличием градиентов температуры и концентраций, и отвечающими им диссипативными механизмами — теплопроводностью и диффузией. Соотношения между фильтрационными проводимостями $K_1 (F_1 + F_2)/\eta$, $K_1 F_1/\eta$ и величинами, определяющими скорость диссипативных процессов, выражаются фильтрационным и фильтрационно-диффузионными числами Прандтля P , P_d , P_D . Параметры Td и Dt , отвечающие за эффекты Соре и Дюфура [11] в трещинах, характеризуют величину термодиффузии по сравнению с диффузией и диффузионную теплопроводность по сравнению с эффективной теплопроводностью соответственно. Вклад работы сил тяжести по сравнению с градиентом температуры определяется параметром G .

В частном случае, когда границы плоского слоя непроницаемы для вещества, приведенные параметры не являются независимыми. В этом случае равновесный диффузионный поток отсутствует

$$\nabla c_s + \kappa_T \nabla T_s = 0 \quad (2.8)$$

Условие (2.8) дает дополнительную связь между градиентами концентрации и температуры, а значит, и между соответствующими числами Рэлея

$$R_d = F \psi \tau_1 R, \quad R_D = (1 - F) \psi \tau_2 R \quad (2.9)$$

$$\psi = -\frac{\kappa_T \beta}{\alpha}, \quad \tau_1 = \frac{\lambda}{\rho_0 C_p D_1}, \quad \tau_2 = \frac{\lambda}{\rho_0 C_p D_0}$$

Здесь параметры τ_1 и τ_2 — отношения скоростей выравнивания температуры и концентраций. Из (2.8) находим, что $Td = (F \tau_1)^{-1}$.

Аналогично [9] из системы (2.3) — (2.7) исключаются давление и компоненты суммарной скорости u_x и u_y . Для этого к уравнению (2.6) применяется оператор rot rot , затем полученное векторное уравнение проецируется на ось z . Тогда уравнение (2.3) исключается, а уравнение (2.6) заменяется на следующее:

$$\Delta u_z + \Delta_1 (R_d c_1 + R_D c_2 + RT) = 0 \quad (2.10)$$

$$\Delta_1 = \frac{\partial^2}{\partial x^2} + \frac{\partial^2}{\partial y^2}$$

Таким образом, в результате получаем систему уравнений (2.4), (2.5), (2.7), (2.10) относительно u_z , T , c_1 , c_2 . Эта система исследуется для плоского горизонтального слоя. Для системы уравнений на возмущения на плоскостях $z = 0$ и $z = 1$ задаются однородные граничные условия

$$u_z = T = c_1 = c_2 = 0 \quad (2.11)$$

3. Критерии устойчивости относительно нормальных возмущений. Исследование полученных уравнений сводится к исследованию спектра нормальных возмущений [9]

$$\begin{Bmatrix} u_z \\ T \\ c_1 \\ c_2 \end{Bmatrix} (x, y, z, t) = \begin{Bmatrix} v \\ \theta \\ q_1 \\ q_2 \end{Bmatrix} (z) \exp \{ \sigma t + i (k_1 x + k_2 y) \} \quad (3.1)$$

Здесь σ — декремент возмущений; k_1, k_2 — волновые числа; v, θ, q_1, q_2 — амплитуды возмущений величин u_z, T, c_1, c_2 соответственно.

Критерий устойчивости относительно нормальных возмущений имеет вид $\text{Re } \sigma < 0$. При этом действительным значениям σ отвечают монотонные возмущения, а комплексными — колебательные.

Подстановка волновых возмущений (3.1) в уравнения (2.4), (2.5), (2.7), (2.10) приводит к системе линейных дифференциальных уравнений для амплитуд возмущений

$$\sigma P_d q_1 - v = \ddot{q}_1 - k^2 q_1 + Td (\theta - k^2 \theta) + \frac{b}{F} (q_2 - a q_1) \quad (3.2)$$

$$\sigma P_d q_2 - v = - \frac{b}{1 - F} (q_2 - a q_1) \quad (3.3)$$

$$\ddot{v} - k^2 v + k^2 (R_d q_1 + R_d q_2 + R \theta) = 0 \quad (3.4)$$

$$\sigma P \theta - (1 + G) v = (1 + Dt) (\theta - k^2 \theta) + \frac{Dt}{Td} (\dot{q}_1 - k^2 q_1) \quad (3.5)$$

$$k^2 = k_1^2 + k_2^2$$

Система (3.2)—(3.5) имеет однопараметрическое семейство решений, удовлетворяющее граничным условиям (2.11)

$$v = v_0 \sin \pi n z, \quad \theta = \theta_0 \sin \pi n z$$

$$q_i = q_{0i} \sin \pi n z, \quad (i = 1, 2, ; n = 1, 2, \dots)$$

Подстановка этих решений в (3.2)—(3.5) приводит к системе линейных уравнений относительно $v_0, \theta_0, q_{01}, q_{02}$. Эта система имеет нетривиальное решение, если ее определитель равен нулю

$$a_0 \sigma^3 + a_1 \sigma^2 + a_2 \sigma + a_3 = 0, \quad a_0 = \omega P P_d P_d, \quad \omega = \pi^2 n^2 + k^2 \quad (3.6)$$

$$a_1 = \omega \left(P P_d \left(\frac{ab}{F} + \omega \right) + \frac{P P_d b}{1 - F} + P_d P_d (1 + Dt) \omega \right) -$$

$$- k^2 (R P_d P_d (1 + G) + R_d P P_d + R_d P P_d)$$

$$a_2 = k^2 \left(R \left\{ P_d \left[\frac{Dt}{Td} \omega - (1 + G) \left(\omega + \frac{ab}{F} \right) \right] - \frac{P_d (1 + G) b}{1 - F} \right\} - \right.$$

$$- R_d \left\{ P \left[\frac{ab}{F(1 - F)} + \omega \right] + P_d (1 + Dt) \omega \right\} -$$

$$\left. - R_d \left\{ P_d [Td (1 + G) - (1 + Dt)] \omega - \frac{P b}{F(1 - F)} \right\} \right)$$

$$\begin{aligned}
 a_3 &= \omega k^2 \left(R_1 \frac{b}{1-F} \left\{ \frac{Dt}{TdF} - 1 - G \right\} - \right. \\
 &- R_D \left\{ \omega + \frac{ab}{1-F} \left[\frac{1+Dt}{F} - Td(1+G) \right] \right\} - \\
 &\left. - R_d \left\{ \frac{b}{1-F} \left[\frac{1+Dt}{F} - Td(1+G) \right] \right\} \right) + \frac{b\omega^3}{1-F}
 \end{aligned}$$

Согласно критерию Вышнеградского [12], уравнение (3.6) имеет корни с отрицательной действительной частью, если и только если выполнены условия

$$a_j > 0 \quad (j = 0, 3) \quad (3.7)$$

$$a_1 a_2 > a_0 a_3 \quad (3.8)$$

Следует различать устойчивость относительно монотонных и колебательных возмущений. Область в пространстве параметров задачи, где реализуются монотонные возмущения, определяется условием неотрицательности дискриминанта Δ_d дисперсионного уравнения (3.6)

$$\Delta_d = 27a_0^2 a_3^2 - 18a_0 a_1 a_2 a_3 + 4a_1^3 a_3 + 4a_0 a_2^3 - a_1^2 a_2^2 \geq 0$$

Колебательные возмущения существуют в области, где $\Delta_d < 0$.

Если $\sigma = \delta + iv$, то, подставляя в (3.6) и отделяя действительные и мнимые части, получим

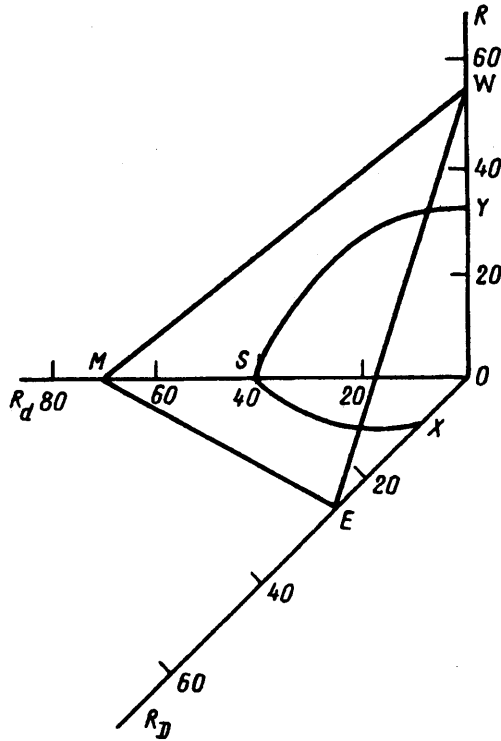
$$a_0 (\delta^3 - 3\delta v^2) + a_1 (\delta^2 - v^2) + a_2 \delta + a_3 = 0 \quad (3.9)$$

$$v [a_0 (3\delta^2 - v^2) + 2\delta a_1 + a_2] = 0$$

Определим границы устойчивости для монотонных и колебательных возмущений [9]. На границе устойчивости $\delta = 0$, и в случае монотонного возмущения $v = 0$. Поэтому условие на границе имеет вид $a_3 = 0$. Колебательное возмущение на границе устойчивости осциллирует с частотой $v \neq 0$. Условие (3.8) обращается в равенство $a_1 a_2 - a_0 a_3 = 0$. Квадрат частоты нейтральных колебаний находится из (3.9)

$$v^2 = \frac{a_2}{a_0} = \frac{a_3}{a_1} > 0$$

Отметим, что в отличие от критерия колебательной неустойчивости в однородной пористой среде, когда соответствующие числа Рэлея связаны линейной зависимостью [3, 6], в данном случае такая зависимость квадратична по R_d , R_D , R . Это обусловлено тем, что связанная с колебательным поведением конкуренция процессов диффузии и теплопроводности развивается как в трещинах, так и в пористых блоках. Действительно, пусть в результате случайной флуктуации плотности элемент жидкого объема в блоке сместился вверх. Он оказался в области, в которой больше легкого компонента, а температура ниже. Поэтому элемент будет охлаждаться путем теплопроводности, зато за счет диффузии приобретать добавочную концентрацию легкого компонента. В результате действия обоих механизмов обмена могут возникать осцилляции, сопровождающие дальнейшее движение элемента. Однако развитие или затухание осцилляций обусловлено также диффузионным обменом с окружающими блок трещинами. Значит, граница колебательной неустойчивости должна зависеть от безразмерных комплексов, выражающих сочетание роли соответствующих компонентов выталкивающих сил и параметров диссипации для обоих континуумов. Взаимодействие трещин и блоков и определяется произведениями соответствующих чисел Рэлея и Прандтля в выражении (3.8) для границы колебательной неустойчивости.



Таким образом, неравенство $a_3 > 0$ определяет область устойчивости относительно монотонных возмущений в пространстве параметров задачи, остальные неравенства (3.7) — (3.8) определяют область устойчивости относительно осцилляционных возмущений. Это означает, что область устойчивости относительно колебательных возмущений реализуется в более узком диапазоне параметров, чем область устойчивости относительно монотонных возмущений, т. е. заведомо является подмножеством последней. Из расположения этих областей в пространстве чисел Рэлея (R_d , R_D , R) при различных величинах остальных параметров, показанных на фигуре, видно, что граница области устойчивости для возмущений монотонного типа ($a_3 = 0$), определяемая плоскостью MEW, отсекает на прямых чисел Рэлея большие по абсолютной величине значения, чем поверхность второго порядка SXU ($a_1 a_2 - a_0 a_3 = 0$), определяющая границу области устойчивости для возмущений колебательного типа (фигура соответствует наиболее естественному для пластовых условий случаю $R_d < 0$, $R_D < 0$, $R > 0$ — приток сверху и нагрев снизу).

Следовательно, для практического исследования устойчивости равновесия допустимо ограничиться необходимым критерием устойчивости относительно монотонных возмущений.

Условие монотонной устойчивости $a_3 > 0$ может быть записано в виде квадратичного неравенства относительно параметра $\zeta = k^2 > 0$

$$f(\zeta) = r_0 \zeta^2 + r_1 \zeta + r_2 < 0 \tag{3.10}$$

Коэффициенты r_i ($i = 0, 1, 2$) зависят от безразмерных параметров задачи и целочисленной моды n

$$r_0 = R_D (1 - F) - b, \quad r_1 = (R_D^2 \pi^2 n^2 - \Lambda) (1 - F) - 2\pi^2 n^2 b, \quad r_2 = -b \pi^4 n^4$$

$$\Lambda = \frac{b}{1-F} \left(R \left\{ \frac{Dt b}{Td F(1-F)} - 1 - G \right\} + \right. \\ \left. + (R_d + aR_D) \left\{ Td(1+G) - \frac{1+Dt}{F} \right\} \right)$$

Плоскопараллельные возмущения ($k=0$) дают $r_2 < 0$, откуда $b > 0$, т. е. механическое равновесие для таких возмущений всегда устойчиво.

Очевидно, что для того, чтобы условие (3.10) удовлетворялось при всех волновых числах k , необходимо, чтобы параметр r_0 был отрицателен и уравнение $f(\zeta) = 0$ не имело бы положительных корней. Это справедливо, если верны неравенства $r_i < 0$ ($i=0, 1, 2$). Если хотя бы одно из этих неравенств не выполняется, то состояние механического равновесия неустойчиво. Неравенство $r_2 < 0$ выполняется автоматически. Поскольку r_1 линейно зависит от параметра n^2 , то условие отрицательности r_1 выполнено для всех n , если справедливы неравенства $R_D(1-F) < 2b$ и $\Lambda > 0$. Для выполнения первого из этих условий необходимо, чтобы параметр r_0 был отрицательным. Таким образом, выполнение неравенства (3.10), представляющего собой условие монотонной устойчивости, обеспечено при любых k и n , если

$$r_0 < 0, \quad \Lambda > 0 \quad (3.11)$$

В пренебрежении перекрестными кинетическими эффектами и работой силы тяжести ($Td = Dt = G = 0$) первое из неравенств (3.11) в размерных параметрах принимает вид

$$\rho_0 g \beta B l_d^2 K_1 F_2 < \frac{\eta D_0}{1-F}$$

Это неравенство означает, что для устойчивости равновесия необходимо, чтобы концентрационная составляющая выталкивающей силы, действующей на элемент жидкости в пористом блоке, не превосходила вклада диссипативных факторов, отнесенных к соответствующей доле фильтрационного потока.

С учетом того, что в реальных пластовых условиях $B < 0$, второе из неравенств (3.11) может быть записано в виде

$$-\frac{F \rho_0 g \Delta^2 \alpha A K_1}{\rho_0 g \Delta^2 \beta B K_1} < \frac{t_d}{t_T}$$

$$t_d = \frac{\Delta^2}{D_1}, \quad t_T = \frac{\Delta^2 \rho_0 C_p}{\lambda}$$

Здесь Δ — средняя раскрытость трещин.

Таким образом, для стабилизации равновесия в трещинах необходимо, чтобы отношение термической и концентрационной составляющих выталкивающей силы не превосходило отношения характерных времен распространения диффузионной и температурной волн.

4. Оценка устойчивости. Поскольку границы реальных пластов непроницаемы для потоков углеводородов, градиенты температуры и концентрации связаны условием (2.8). Поэтому условия устойчивости (3.11) в пренебрежении малым вкладом диффузионной теплопроводности [4, 9] с учетом соотношений (2.9) приобретают вид

$$(1-F)^2 \psi \tau_2 R - b < 0 \quad (4.1)$$

$$\frac{bR}{1-F} \left\{ \psi \left[\tau_1 + a \left(\frac{1}{F} - 1 \right) \tau_2 \right] \left(\frac{1+G}{\tau_1} - 1 \right) - 1 - G \right\} > 0$$

Для нарушения этих условий необходимо, чтобы параметр ψ был положи-

тельным. В силу (2.9) это отвечает случаю $k_T < 0$ (нормальная термодиффузия) [9]. Напротив, аномальная термодиффузия в трещинах приводит к стабилизации механического равновесия пластовой смеси.

Неустойчивость при отрицательных значениях k_T объясняется тем, что нормальная термодиффузия в трещинах вызывает увеличение концентрации легкого компонента вблизи прогретой подошвы пласта и тем самым создается дополнительная неустойчивая стратификация по плотности. Из (4.1) определяется критическое значение параметра ψ , при превышении которого равновесие перестает быть устойчивым.

Решающее влияние термодиффузии на установление равновесия определяется линейной связью между градиентами температуры и концентрации (2.8). Из условия (2.8) следует, что в случае, когда температуры на кровле и подошве пласта равны, равновесное распределение концентрации также постоянно по высоте. Такая модельная аппроксимация связана с пренебрежением бародиффузионным эффектом [9], который не может быть учтен в рамках приближения Буссинеска. Для практического определения величины и знака k_T (или κ_T) по данным отбора проб следует использовать линейные аппроксимации распределений компонентов по (c, T) -диаграммам.

Были произведены расчеты устойчивости по данным Карачаганакского газоконденсатного месторождения (Казахстан) [2]. Для расчетов брались значения материальных функций, полученных в [13] для периодически неоднородной пористой среды

$$F_1 = \frac{\varepsilon \{2 + \varepsilon + \xi (1 + \varepsilon)\}}{(1 + \varepsilon)(1 + \xi\varepsilon)}, \quad F_2 = \frac{\xi \{1 - \varepsilon - \varepsilon^2\}}{(1 + \varepsilon)(1 + \xi\varepsilon)}$$

$$\varepsilon = \frac{\Delta}{l}, \quad \xi = \frac{K_2}{K_1}, \quad \alpha_2 = \frac{l^3}{(l + \Delta)^3}, \quad \alpha_1 = 1 - \alpha_2, \quad l = l_D$$

Пластовая смесь разбивалась на два псевдокомпонента, из которых легкий отвечал метану. Выбирались следующие значения определяющих параметров [2]:

$$c^o = 0,4, \quad T = 360 \text{ К}, \quad p^o = 60 \text{ МПа}, \quad m_1 = 0,5, \quad m_2 = 0,1, \quad K_1 = 10^{-12} \text{ м}^2, \quad K_2 = 10^{-15} \text{ м}^2,$$

$$\Delta = 10^{-3} \text{ м}, \quad C_p = 3,3 \cdot 10^3 \text{ м}^2 \text{ с}^{-2} \text{ К}^{-1}, \quad \rho_0 = 5 \cdot 10^2 \text{ кг м}^{-3}, \quad \lambda = 1,2 \text{ кг м с}^{-3} \text{ К}^{-1},$$

$$C_m = 3 \cdot 10^6 \text{ кг м}^{-1} \text{ с}^{-2} \text{ К}^{-1}, \quad \eta = 10^{-4} \text{ кг м}^{-1} \text{ с}^{-1}, \quad L = 1,4 \cdot 10^3 \text{ м}, \quad A = 10^{-2} \text{ К м}^{-1}, \quad B = -1,5 \cdot 10^{-4} \text{ м}^{-1},$$

$$\alpha = 10^{-4} \text{ К}, \quad \beta = 10^{-1}, \quad l = 10 \text{ м}, \quad D_0 = 10^{-8} \text{ м с}^{-2}, \quad D_1 = 10^{-10} \text{ м с}^{-2}, \quad k_T = 0,15 \text{ (аномальная термодиффузия)}.$$

Расчетные значения безразмерных параметров задачи таковы: $a = 10^2$, $b = 1,96 \cdot 10^5$, $\varepsilon = 10^{-4}$, $\xi = 10^{-3}$, $F_1 = 2 \cdot 10^{-4}$, $F_2 = 10^{-3}$, $F = 1,67 \cdot 10^{-1}$, $\alpha_1 = 3 \cdot 10^{-6}$, $\alpha_2 = 9,99 \cdot 10^{-1}$, $\tau_1 = 7,27 \cdot 10^3$, $\tau_2 = 7,27 \cdot 10$, $\psi = -0,42$, $R = 1,62$, $R_d = -8,26 \cdot 10^2$, $R_p = -4,12 \cdot 10$, $G = 3,03 \cdot 10$.

Вычисления дают: $r_0 = -1,96 \cdot 10^4 < 0$, $\Lambda = 6,94 \cdot 10^8 > 0$.

Приведенный анализ показывает, что углеводородная смесь Карачаганакского месторождения находится в состоянии устойчивого равновесия.

СПИСОК ЛИТЕРАТУРЫ

1. *Голф-Рахт Т. Д.* Основы нефтепромысловой геологии и разработки трещиноватых коллекторов. М.: Недра, 1986. 607 с.
2. *Перепеличенко В. Ф.* Компонентоотдача нефтегазоконденсатных залежей. М.: Недра, 1990. 272 с.
3. *Nield D. A.* Onset of thermohaline convection in a porous medium//Water Resources Res. 1968. V. 4. № 3. P. 553—560.
4. *Brand H., Steinberg V.* Convective instabilities in binary mixtures in a porous medium//Physica. 1983. V. 119A. № 1—2. P. 327—338.

5. *Taslim M. E., Narusawa U.* Binary fluid convection and double-diffusive convection in a porous medium//Trans. ASME. J. Heat and Mass Transfer 1986. V. 108. № 1. P. 221—224.
6. *Бедриковецкий П. Г., Полонский Д. Г., Шапиро А. А.* Анализ конвективной неустойчивости бинарной смеси в пористой среде//Изв. РАН. МЖГ. 1993. № 1. С. 110—119.
7. *Бедриковецкий П. Г., Истомин Г. Д., Князева М. Б.* Смешивающееся вытеснение из трещиновато-пористых сред//Изв. АН СССР. МЖГ. 1989. № 6. С. 100—110.
8. *Бедриковецкий П. Г.* Горизонтальное вытеснение смешивающихся жидкостей из трещиновато-пористых сред//Изв. АН СССР. МЖГ. 1992. № 3. С. 87—96.
9. *Гершуни Г. З., Жуховицкий Е. М.* Конвективная устойчивость несжимаемой жидкости. М.: Наука, 1972. 392 с.
10. *Николаевский В. Н.* Механика пористых и трещиноватых сред. М.: Недра, 1984. 232 с.
11. *Цянь Сюэнь.* Физическая механика. М.: Мир, 1965, 544 с.
12. *Постников М. М.* Устойчивые многочлены. М.: Наука, 1981. 176 с.
13. *Басниев К. С., Бедриковецкий П. Г., Дединец Е. Н.* Определение эффективной проницаемости трещиновато-пористой среды//Инж.-физ. журн. 1988. Т. 55. № 6. С. 940—948.

Москва

Поступила в редакцию
30.XII.1992